

## بررسی رفتار کار گرم فوم کامپوزیتی سلول بسته Al/SiC<sub>p</sub>

آرمن دهنوی<sup>\*</sup><sup>۱</sup>، غلامرضا ابراهیمی<sup>۲</sup>، مسعود گلستانی پور<sup>۳</sup>

۱- کارشناسی ارشد، موسسه آموزش عالی علمی کاربردی جهاد دانشگاهی- مرکز مشهد، خراسان رضوی، ایران

۲- دانشیار، دانشکده مهندسی و علم مواد، دانشگاه حکیم سبزواری، سبزوار، خراسان رضوی، ایران

۳- عضو هیأت علمی و گروه پژوهشی مواد جهاد دانشگاهی مشهد، خراسان رضوی، ایران

\*عهده دار مکاتبات: Armin.dehnavi@yahoo.com

(تاریخ دریافت: ۱۳۹۴/۰۶/۲۲، تاریخ پذیرش: ۱۳۹۴/۰۸/۱۱)

**چکیده:** در این پژوهش با استفاده از روش فوم سازی مستقیم مذاب با کمک عامل فوم ساز کربنات کلسیم (CaCO<sub>3</sub>) و با مقادیر مختلف ذرات پایدارساز و تقویت کننده SiC (۳، ۶ و ۱۰ درصد حجمی) فوم کامپوزیتی زمینه آلومینیومی تولید گردیده است. چگالی فوم‌های تولیدی ۵/۰ گرم بر سانتیمتر مکعب اندازه گیری شد. سپس در محدوده حرارتی مختلف ۱۰۰°C، ۲۰۰°C و ۴۰۰°C و با نرخ کرنش متوسط ۱۵٪، تحت تغییر شکل فشار تک محوری قرار داده شد. نتایج حاصل نشان می‌دهد که در دمای ۳۰۰°C، تنفس تسلیم، تنفس مسطح و میزان جذب انرژی افزایش، و با افزایش دما کاهش یابد. همچنین افزایش میزان ذرات تقویت کننده سبب دندانه‌ای شدن منحنی سیلان شده است، که بیان کننده افزایش تردی دیواره سلولی فوم می‌باشد.

### واژه‌های کلیدی:

فوم آلومینیوم، تغییر شکل گرم، ذرات SiC، سلول بسته.

### ۱- مقدمه

پرکاربردترین و اقتصادی‌ترین روش در ساخت فوم‌های فلزی، روش ذوبی می‌باشد. روش تولید فوم با استفاده از اضافه کردن عامل فوم ساز به مذاب از جمله روش‌های پرکاربرد در تولید فوم‌های آلومینیومی می‌باشد. در این روش برای تولید فوم آلومینیومی ابتدا ماده ویسکوزیته به مذاب افزوده شده می‌شود، سپس عامل فوم ساز اضافه شده و تحت تاثیر حرارت مذاب تجزیه شده و گاز آزاد می‌کند. این امر موجب ایجاد حباب در مذاب و به تبع آن انجام فرآیند فوم سازی می‌شود. کنترل دقیق دما و میزان ویسکوز کننده به مذاب از پارامترهای اصلی تعیین کننده کیفیت فوم تولیدی می‌باشد [۲].

مطالعات زیادی به منظور بررسی رفتار فشاری و پارامترهای موثر بر تولید، در فوم‌های سلول بسته آلومینیومی صورت گرفته است.

در دهه اخیر، یک دسته از فلزات سلولی، به نام فوم‌های فلزی با خواص مکانیکی، حرارتی، الکتریکی و صوتی جدید جذبیت بسیاری یافته‌اند. فوم‌ها و دیگر مواد سلولی که یک ساختار متخلخل دارند، ترکیبی از خواص جالب فیزیکی و مکانیکی دارند. از جمله این خواص می‌توان به وزن بسیار کم، سخت‌پایی بالا، قابلیت جذب انرژی ناشی از ضربه، هدایت حرارتی اندک، خودپذیری مغناطیسی کم و قابلیت جذب ارتعاش اشاره نمود. به این ترتیب فوم‌های فلزی را می‌توان در کاربردهایی که به خصوصیات فوق به صورت توانم نیاز دارند به کار گرفت [۱]. روش‌های مختلفی برای تولید فوم‌های آلومینیومی وجود دارد. این روش‌ها به طور کلی به سه گروه روش‌های حالت جامد، مایع و گازی تقسیم‌بندی می‌شوند. در این میان می‌توان گفت که

در این تحقیق آلیاز آلومینیوم ریختگی AMS A356.0 به عنوان فلز پایه انتخاب گردید. فاز تقویت کننده شامل ذرات SiC با اندازه متوسط برابر با  $10\text{ }\mu\text{m}$  میکرومتر تهیه شد. عملیات حرارتی ذرات SiC به مدت یک ساعت در دمای  $950^\circ\text{C}$  و سپس به مدت ۲ ساعت در دمای  $650^\circ\text{C}$  به منظور حذف آلودگی ها و گازهای جذب شده سطحی و در نتیجه بهبود ترشوندگی ذرات SiC توسط مذاب آلومینیوم انجام گردید [۱۷].

پودر کربنات کلسیم با خلوص  $99.5\%$  وزنی و اندازه متوسط  $5\text{ }\mu\text{m}$  میکرومتر به عنوان عامل فوم ساز استفاده شد. این پودر نیز به منظور توزیع بهتر این ذرات در مذاب آلومینیوم به مدت ۲ ساعت در دمای  $200^\circ\text{C}$  حرارت داده شد. تصویر میکروسکوپ الکترونی روبشی SEM از ذرات SiC و پودر  $\text{CaCO}_3$  مورد استفاده در این تحقیق در شکل ۱ قابل مشاهده است.

جهت تولید فوم ابتدا شمشهای کامپوزیتی Al/SiC<sub>p</sub> به همراه درصدهای حجمی متفاوت ( $3\%$ ،  $6\%$  و  $10\%$ ) از ذرات SiC با استفاده از تکنیک ریخته گری گردابی در دمای  $700-720^\circ\text{C}$  تولید و ریخته گری شد. شمش مذکور در مرحله بعد در دمای  $700-720^\circ\text{C}$  ذوب مجدد شده و توسط همزن به مدت زمان  $10\text{ min}$  دقیقه با سرعت  $1000\text{ rpm}$  دور بر دیقیقه هم زده می شود تا قبل از اینکه فوم سازی صورت گیرد، مذابی یکنواخت حاصل شود. پس از آن  $3\text{ min}$  درصد حجمی پودر  $\text{CaCO}_3$  به مذاب در حال اغتشاش اضافه شده و مخلوط بلا فاصله برای مدت کمتر از  $1\text{ min}$  دقیقه هم زده شد. سپس مخلوط در دمای  $720-750^\circ\text{C}$  به مدت  $3\text{ min}$  دقیقه نگه داشته شد تا کربنات کلسیم تجزیه شده و تولید گاز  $\text{CO}_2$  نماید و به کمک رابطه  $1$  درصد تخلخل فوم های کامپوزیتی اندازه گیری شد:

$$P = \left(1 - \frac{\rho}{\rho_s}\right) \cdot 100 \quad (1)$$

در رابطه فوق  $P$ ، درصد تخلخل فوم کامپوزیتی،  $\rho$  و  $\rho_s$  به ترتیب چگالی فوم کامپوزیتی و چگالی ماده موجود در دیوارهای می باشد. مقدار چگالی فوم های تولیدی  $0.5\text{ g/cm}^3$  بر سانتیمتر

همچنین لازم به ذکر است که تحقیقات انجام شده بر روی خواص فشاری و تغییر شکل فوم های سلول بسته اکثرا در دمای محیط صورت گرفته و کمتر به بررسی آن در دماهای بالاتر از محیط توجه شده است.

آلی<sup>۱</sup> با بررسی دما و چگالی نسبی بر خواص فشاری فوم سلول بسته آلومینیومی اینطور بیان کرد که با افزایش چگالی نسبی خواص فشاری فوم سلول بسته افزایش داشته و بالعکس با افزایش دما خواص فشاری فوم سلول بسته آلومینیومی کاهش یافته است [۳]. در تحقیق دیگر کدی<sup>۲</sup> و همکارانش به بررسی نرخ کرنش و دما بر رفتار فشاری فوم سلول بسته آلومینیومی پرداختند. مشخص گردید رفتار فشاری فوم سلول بسته به شدت تابعی از دما و نرخ کرنش می باشد [۴].

در پژوهشی مشابه که توسط ساهو<sup>۳</sup> و همکارانش بر روی فوم کامپوزیتی سلول بسته ZA27-SiC صورت گرفت به این نتایج رسیدند که تنفس مسطح و میزان جذب انرژی با افزایش چگالی نسبی و نرخ کرنش افزایش و با افزایش دما و سایز سلولی کاهش پیدا کرده است [۵].

همچنین وانگ<sup>۴</sup> و همکاران تاثیر دما بر روی خواص مکانیکی فوم آلومینیومی تحت بارگزاری دینامیکی را مورد مطالعه قرار دادند و آنها مشاهدات خود را اینطور بیان کردند که با افزایش دما حساسیت به نرخ کرنش در فوم های آلومینیومی افزایش یافته است [۶].

مرور پژوهش های بالا در زمینه بررسی خواص مکانیکی فوم سلول بسته آلومینیوم در دماهایی غیر از دمای محیط نشان می دهد که تاثیر پارامتری همچون کسر حجمی ذرات تقویت کننده SiC مورد بررسی قرار نگرفته است. هدف از انجام تحقیق حاضر تولید فوم کامپوزیتی سلول بسته Al/SiC<sub>p</sub> به روش فوم سازی مستقیم با استفاده از عمل فوم ساز  $\text{CaCO}_3$  و بررسی تاثیر ذرات SiC به عنوان فاز تقویت کننده و دما بر خواص فشاری فوم Al/SiC<sub>p</sub> در درجه حرارت های بالاتر از دمای محیط می باشد.

## ۲- مواد و روش انجام تحقیق

### ۳- نتایج و بحث

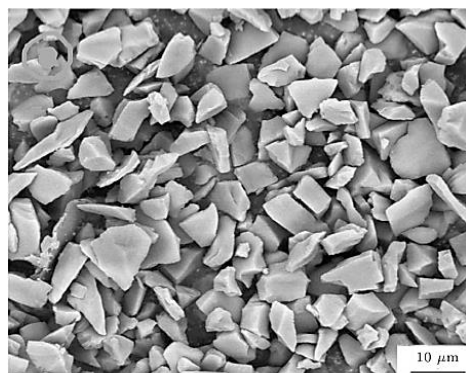
#### ۲-۱- رفتار تغییر شکل فشاری

منحنی تنش-کرنش مهندسی در دماهای مختلف برای فوم کامپوزیتی با  $10^{\circ}$  درصد حجمی ذرات SiC در شکل ۲-الف و منحنی های تنش-کرنش مهندسی نمونه های ۶ و  $3^{\circ}$  درصد حجمی ذرات تقویت کننده به ترتیب در شکل ۲-ب و ۲-ج مشاهده می شود. با توجه به شکل ۳، منحنی های تنش-کرنش مهندسی را می توان به سه منطقه زیر تقسیم کرد که با خطچین بر روی شکل ۲-الف نشان داده شده است:

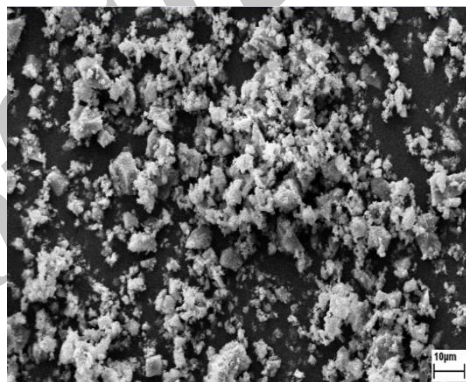
۱- در منطقه اول نمودار با اعمال تنش، یک ناحیه الاستیک خطی که مربوط به خم شدن الاستیک دیواره های سلولی است مشاهده می شود. با افزایش میزان تنش در دماهای پایین، در کرنش هایی در حدود  $10^{\circ}$ ، اولین دیواره های سلولی دچار کمانش و فروپاشی شده و پدیده تسلیم در فوم فلزی رخ می دهد.

۲- پس از منطقه الاستیک و در منطقه دوم نمودار، در محدوده وسیعی از کرنش، تنش ثابت می ماند. میانگین تنش در این محدوده همان تنش مسطح<sup>۵</sup> می باشد. نوسانات تنش بر روی منحنی تنش-کرنش مهندسی به علت تخریب دیواره ها و در اثر اعمال نیرو به وجود آمده و منجر به تغییر شکل دائمی می شود. بسته به ساختار سلولی و خواص ماده جامد، ناحیه مسطح منحنی تنش-کرنش مهندسی ممکن است کاملاً مسطح نبوده و شب کمی داشته باشد و یا دندانه ای و موج دار باشد [۷]. دندانه ای شدن نمودار در این مرحله را که در دماهای پایین و تا دمایی که استحکام دیواره سلول براثر افزایش دما حفظ شود می توان مشاهده نمود. ۳- منطقه سوم نمودار در کرنش هایی بیشتر از  $50^{\circ}$  رخ می دهد. با افزایش کرنش، باندهای تغییر شکل بیشتری تشکیل می شوند. در این شرایط تنش به دلیل له شدن ساختار فومی به میزان زیادی افزایش یافته و با از بین رفتن بیشتر سلول ها ناحیه تراکم<sup>۶</sup> منحنی در نمودار ظاهر می شود.

مکعب و درصد تخلخل آنها  $81\%$  درصد اندازه گیری شد [۱۶].



(الف)



(ب)

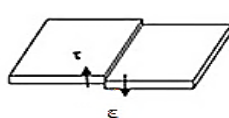
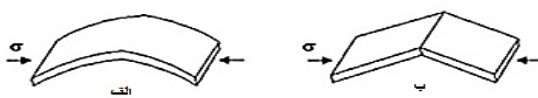
شکل (۱): تصویر SEM از: (الف): ذرات SiC و (ب): پودر CaCO<sub>3</sub> عملیات حرارتی شده

به منظور بررسی رفتار کار گرم و خواص مکانیکی فوم های تولید شده از آزمون فشار گرم استفاده شد. ابتدا نمونه های با ابعاد  $25\text{mm} \times 25\text{mm} \times 30\text{mm}$  به شکل مکعبی از فوم کامپوزیتی Al/SiC<sub>p</sub> تولید شده با کسر حجمی متفاوت ذرات SiC تهیه شدند سپس آزمایش فشار گرم تک محوری توسط دستگاه آزمون Zwick Z250 و در محدوده حرارتی مختلف  $100^{\circ}\text{C}$ ،  $200^{\circ}\text{C}$ ،  $300^{\circ}\text{C}$  و  $400^{\circ}\text{C}$  و با نرخ کرنش متوسط  $1\text{s}^{-1}$  انجام شد. پس از تغییر شکل، نمونه ها جهت بررسی ریز ساختار در هوا سرد شد. میکروسکوپ نوری مدل Olympus PM3 و الکترونی روبیشی مدل LEO 1450 (35 KV) برای بررسی ساختار سلول ها و توزیع ذرات SiC در فوم کامپوزیتی Al/SiC<sub>p</sub> استفاده قرار گرفت.

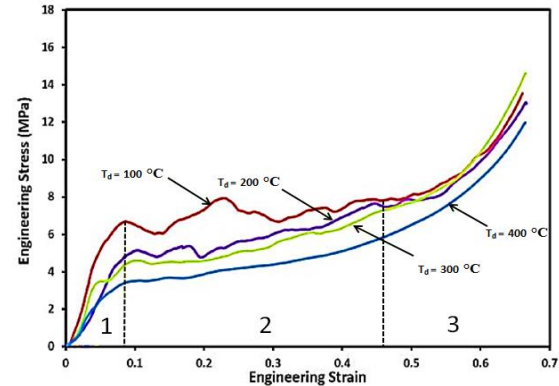
ج مشاهده می‌شود با افزایش ذرات SiC طول منطقه کرنش الاستیک نسبت به نمونه‌های با ۳ و ۶ درصد حجمی ذرات SiC افزایش یافته و تنش تسلیم مقادیر بالاتری را نشان می‌دهد. در ناحیه دوم نمودار برای نمونه‌های با ۱۰ درصد حجمی ذرات تقویت کننده در مقایسه با دو نمونه دیگر نوسانات تنش بیشتری نشان داده و درنتیجه تنش مسطح افزایش یافته است. میزان جذب انرژی به سطح زیر منحنی تنش-کرنش مهندسی بستگی دارد. با افزایش ذرات تقویت کننده، سطح زیر نمودار در شکل ۲-الف افزایش یافته و درنتیجه تنش مسطح افزایش یافته است. میزان جذب انرژی به سطح زیر منحنی تنش-کرنش مهندسی بستگی دارد. با افزایش ۲-ب و ۲-ج افزایش یافته و این امر نشان‌دهنده قابلیت جذب انرژی بالاتری می‌باشد.

در شکل ۲ با تغییرات شرایط آزمون از جمله دما ظاهر نمودارهای تنش-کرنش مهندسی تغییر یافته است. دلیل این امر را می‌توان این طور بیان کرد که با تغییر دمای آزمون در حین تغییر شکل گرم فوم کامپوزیتی، مکانیزم تغییر شکل در دیواره سلولی تغییر می‌کند.

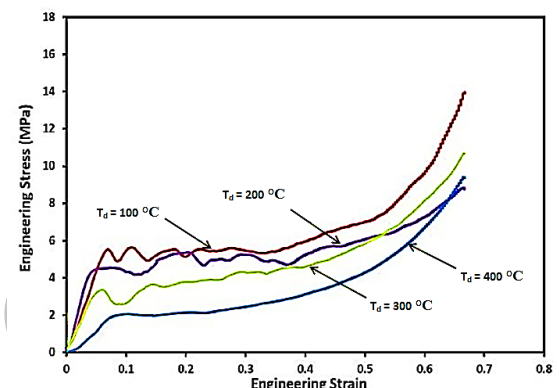
شکل ۳ مکانیزم‌های تغییر شکل دیواره سلولی را نشان می‌دهد. در منطقه اول بر روی شکل ۳-الف مشاهده می‌شود با افزایش دما فوم کامپوزیتی تنش تسلیم پایین‌تری را از خود نشان می‌دهد. همچنین میزان نوسانات تنش بر روی منحنی تنش-کرنش مهندسی با افزایش دما کاهش یافته و تنش مسطح فوم و میزان جذب انرژی را تحت تاثیر قرار می‌دهد بدین صورت که با افزایش دما میزان تنش مسطح و جذب انرژی کاهش می‌یابد. تغییر مکانیزم تغییر شکل از کمانش و پارگی به خم شدن دیواره سلولی می‌تواند علت کاهش خواص فشاری فوم کامپوزیتی باشد.



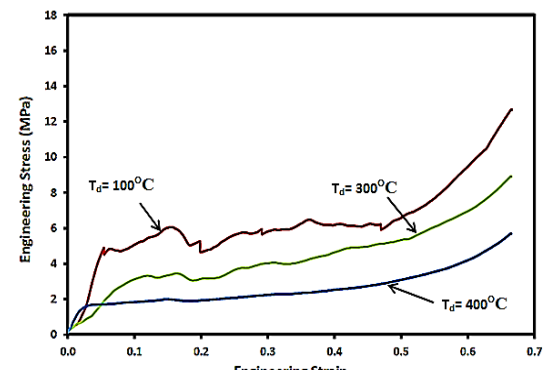
شکل (۳): مکانیزم‌های تغییر شکل سلولی: (الف): خم شدن، (ب): کمانش و (ج): پاره شدن [۸]



(الف)



(ب)

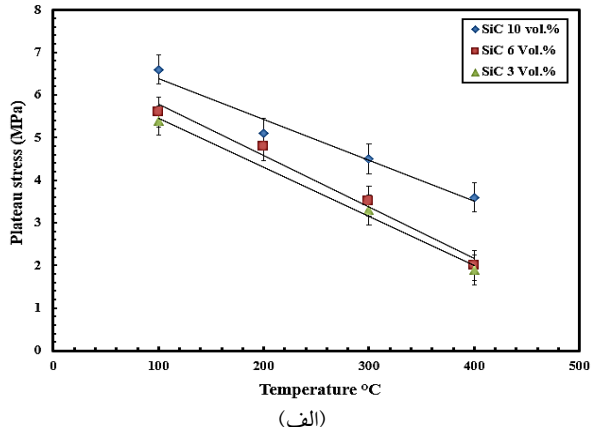


(ج)

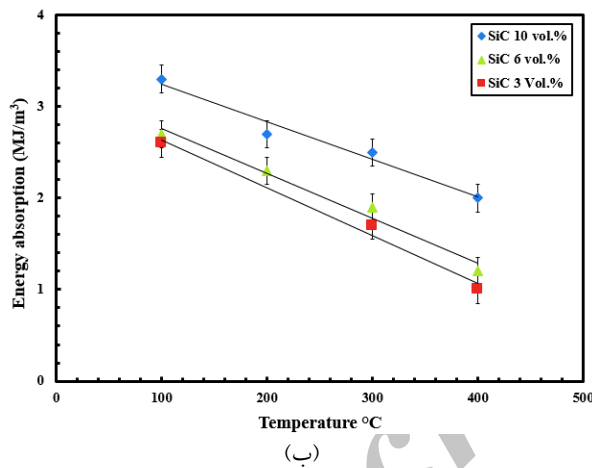
شکل (۲): منحنی تنش کرنش فشاری فوم‌های کامپوزیتی تولید شده با: (الف): ۱۰، (ب): ۶ و (ج): ۳ درصد حجمی SiC با دمای مختلف

با توجه به شکل ۲ و نمودارهای تنش-کرنش مهندسی سه نمونه با ۱۰، ۶ و ۳ درصد حجمی از ذرات SiC مشخص است که در نمونه‌ای با ۱۰ درصد حجمی ذرات SiC میزان استحکام فشاری افزایش یافته است. همچنین با مقایسه شکل ۲-الف با ۲-ب و ۲-

تنش تسلیم، تنش مسطح و میزان جذب انرژی کاهش پیدا کرده است.



(الف)



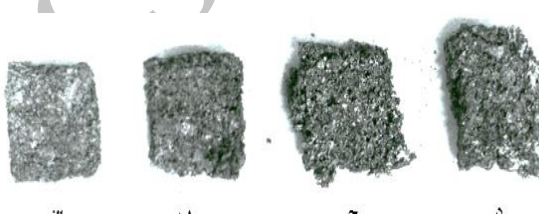
(ب)

شکل (۵): منحنی: (الف): تنش مسطح و (ب): جذب انرژی فوم‌های کامپوزیتی تولید شده با مقادیر ثابت SiC با دماهای مختلف به منظور بررسی تغییرات تنش تسلیم فوم فلزی رابطه ۲ توسط قوش<sup>۷,۹</sup> بیان شد:

$$\sigma = \sigma_m \left( 1 - \frac{AT}{T_m} \ln \frac{\varepsilon_0}{\varepsilon} \right)$$

که در این فرمول  $\sigma$  تنش تسلیم فوم فلزی،  $\sigma_m$  تنش تسلیم زمینه،  $A$  خواص ماده،  $T$  دمای آزمون،  $T_m$  دمای ذوب ماده،  $\varepsilon_0$  نرخ کرنش می‌باشد. با ثابت در نظر گرفتن نرخ کرنش و افزایش دمای آزمون میزان تنش تسلیم فوم فلزی کاهش می‌یابد. با توجه به اینکه میزان تنش مسطح به استحکام زمینه وابسته است، با افزایش دما استحکام دیواره سلولی و زمینه کاهش پیدا کرده و میزان تنش

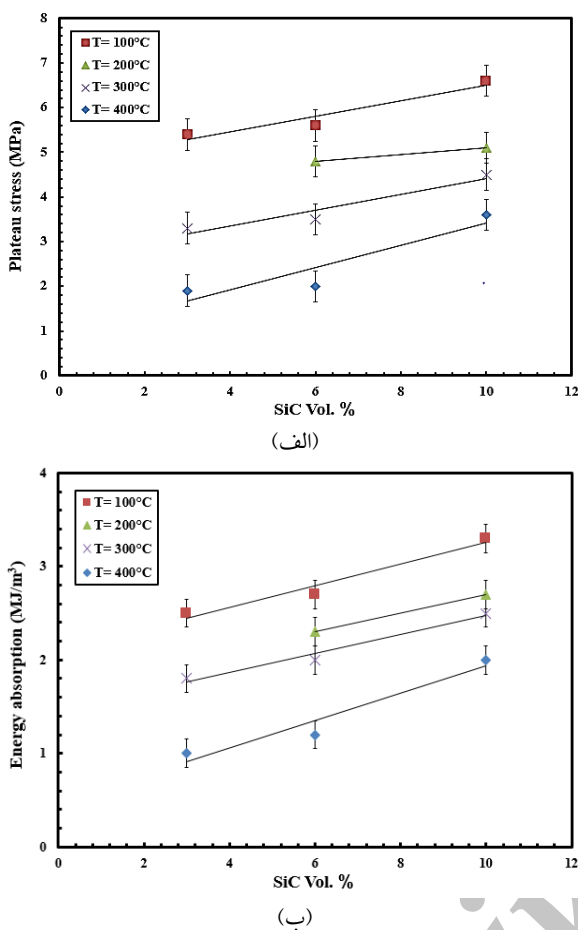
در شکل ۵ نمونه‌های با ۱۰ درصد حجمی ذرات SiC بعد از تغییر شکل گرم مشاهده می‌شود. در شکل ۴-الف و ۴-ب به ترتیب بعد از پایان آزمون و چگال شدن نمونه‌ها پس از کرنش متراکم (منطقه سوم نمودار تنش-کرنش مهندسی)، دیواره‌های سلولی دچار شکست و بخشی از آن‌ها جدا شده است، این امر ناشی از کمانش شدید دیواره سلولی در حین آزمون در دماهای پایین می‌باشد. با افزایش دما که در شکل ۴-ج و ۴-د می‌توان مشاهده کرد، پس از تغییر شکل و اتمام منطقه کرنش متراکم، خورد شدن دیواره سلولی و جدا شدن از ساختار مشاهده نمی‌شود و با خم شدن دیواره سلول نمونه‌ها قابلیت پیشتری از له شدن را از خود نشان می‌دهند.



شکل (۴): نمونه‌های تغییر شکل یافته در دماهای: (الف): ۱۰۰°C، (ب): ۲۰۰°C، (ج): ۳۰۰°C و (د): ۴۰۰°C

## ۲-۲-۳- تأثیر دما بر رفتار تغییر شکل گرم

شکل ۵-الف تغییرات میزان تنش مسطح را با تغییرات دما در مقادیر ثابت ذرات SiC نشان می‌دهد. همان‌گونه که مشخص است، با افزایش دما میزان تنش مسطح کاهش یافته است. دلیل این امر را می‌توان به از دست دادن استحکام زمینه و دیواره سلول با افزایش دما و کاهش میزان نوسانات تنش در منطقه دوم نمودار تقویت کننده، مقدار تنش مسطح ۶/۶ MPa در دمای ۱۰۰°C بوده و با افزایش دما به ۲۰۰°C، ۳۰۰°C و ۴۰۰°C به ترتیب به مقادیر ۴/۵ MPa، ۵/۱ MPa و ۳/۶ MPa کاهش پیدا کرده است. افزون بر این، در شکل ۵-ب مشاهده می‌شود با افزایش دما میزان جذب انرژی روندی مشابه با تنش مسطح را دربال می‌کند. به طور کل می‌توان این طور بیان کرد با افزایش دما خواص فشاری از جمله



شکل (۷): منحنی: (الف): تنش مسطح و (ب): جذب انرژی فوم‌های کامپوزیتی تولیدشده با مقادیر مختلف SiC در دمای ثابت

رابطه ۳ تغییرات تنش تسليم فوم کامپوزیتی با کسر حجمی ذرات تقویت کننده را نشان می‌دهد [۱۱].

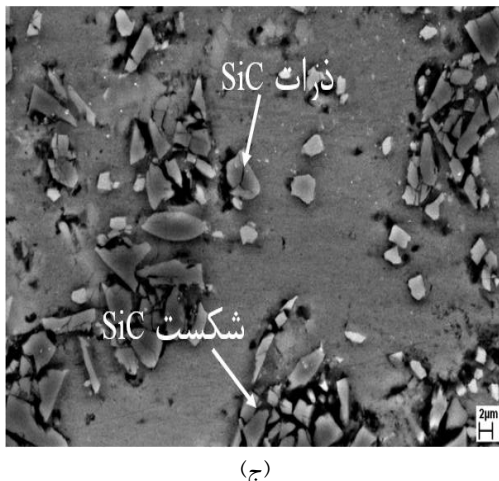
$$\sigma_f = \sigma_m [(1 - V_p) - 0.89 \left( \frac{\rho_f}{\rho_s} \right)^{-0.007}] + 235.9 V_p^{3.16} \quad (3)$$

که در این رابطه  $\sigma_f$  تنش تسليم فوم کامپوزیتی،  $\sigma_m$  تنش تسليم زمینه،  $\rho_f/\rho_s$  دانسیته نسبی فوم فلزی و  $V_p$  کسر حجمی ذرات تقویت کننده می‌باشد. با توجه به این رابطه میزان تغییرات تنش تسليم فوم کامپوزیتی با میزان مقادیر ذرات تقویت کننده در زمینه رابطه مستقیم دارد و با افزایش کسر حجمی ذرات تقویت کننده افزایش می‌یابد. تنش تسليم با میزان مقادیر ذرات SiC به صورت خطی تغییر نمی‌کند.

مسطح کاهش می‌یابد. مطالعات صورت گرفته در چندین تحقیق [۵، ۳-۶] تایید کننده این موضوع می‌باشد.

### ۳-۳-۱- تأثیر SiC بر رفتار تغییر شکل گرم

شکل ۶ تأثیرات کسر حجمی ذرات SiC بر روی فوم کامپوزیتی با تغییرات دما را نشان می‌دهد. با افزایش کسر حجمی ذرات SiC و در نظر گرفتن دما به صورت ثابت، میزان تنش مسطح و جذب انرژی افزایش یافته است. شکل ۶- الف تأثیرات تنش مسطح با میزان تغییرات کسر حجمی ذرات تقویت کننده را نشان می‌دهد. با ثابت در نظر گرفتن دما میزان تنش مسطح با افزایش کسر حجمی ذرات تقویت کننده افزایش یافته و این امر را می‌توان مربوط به نقش ذرات SiC به عنوان یک عامل تقویت کننده در زمینه و دیواره سلول دانست. با بررسی شکل ۶- الف مشخص شد که تغییرات تنش مسطح با افزایش ذرات به میزان ۱۰ درصد حجمی در مقایسه با نمونه‌هایی با ۳ و ۶ درصد اختلاف بین مقادیر تنش مسطح در دماهای بالای آزمون کاهش یافته و می‌توان این طور بیان کرد که وجود ذرات در زمینه باعث حفظ استحکام دیواره سلولی در دماهای بالا می‌شود. وجود ذرات SiC در دیواره سلولی فوم کامپوزیتی نیروی فشاری را تا حدی تحمل می‌کنند و باعث افزایش استحکام می‌شوند تا اینکه نیروی وارد فراتر از حد تحمل دیواره سلول شود و باعث شکست از فصل مشترک یا از درون ذرات SiC می‌شود. تحقیقات کایزر<sup>۸</sup> و همکارانش [۱۰] در بررسی اثر ذرات SiC بر فوم آلومینیوم صحت این موضوع را تایید می‌کند. در نمونه‌هایی با مقادیر ۳ و ۶ درصد حجمی میزان تنش مسطح در دماهای مختلف مقادیر نزدیک به هم را نشان می‌دهد و تأثیری در افزایش تنش مسطح نداشته است. می‌توان این طور بیان کرد که برای رسیدن به استحکام قابل قبول در دماهای بالا برای فوم‌های کامپوزیتی Al/SiC<sub>p</sub> به مقادیر بالایی از ذرات تقویت کننده نیاز است. در شکل ۶- ب مشاهده می‌شود با کاهش میزان ذرات و افزایش دمای آزمون میزان جذب انرژی به علت کاهش سطح زیر نمودار تنش و کرنش مهندسی کاهش می‌یابد.

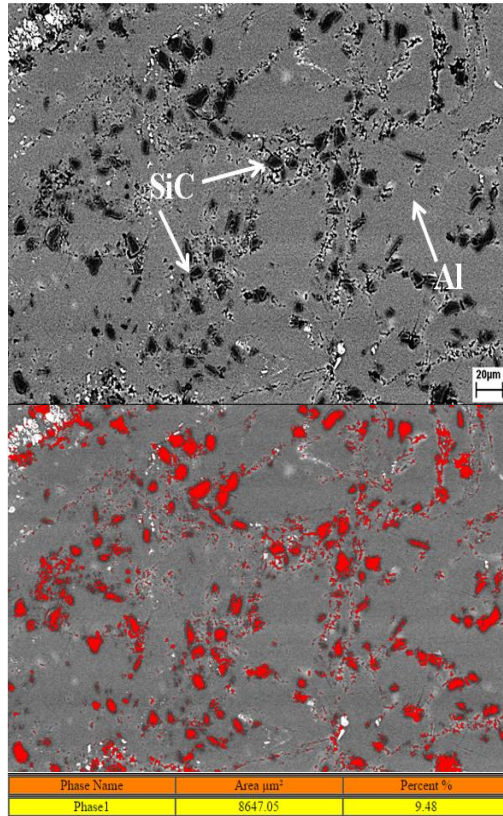
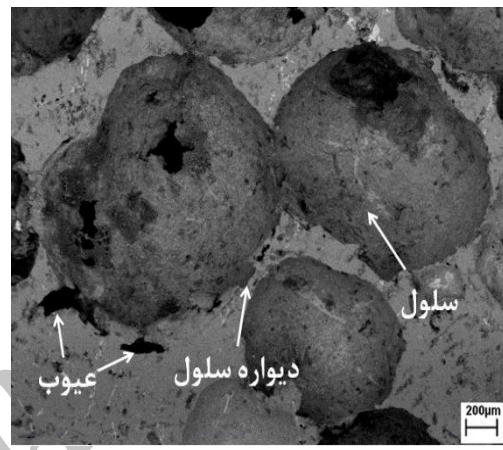


شکل (۷): ریزساختار حاصل از بررسی میکروسکوپ الکترونی رویشی SEM

شکل ۷-الف ریزساختار الکترونی رویشی از سطح فومی با ۱۰ درصد ذرات تقویت‌کننده را نشان می‌دهد. قسمت‌های مختلف ساختار مانند سلول، دیواره سلولی، عیوب موجود بر دیواره سلول در شکل مشخص شده است. وجود عیوب در دیواره سلولی باعث می‌شود که تنش در کرنش‌های پایین تری از حد تنش تسليم فوم تجاوز کند، که این مسئله باعث تغییر فرم پلاستیک زود هنگام و کوتاه شدن منطقه الاستیک خطی بر روی نمودار تنش-کرنش مهندسی می‌شود [۱۳]. وجود عیوب در دیواره و سلول را می‌توان این طور تقسیم کرد. ۱- فشار گاز درون حباب بیشتر از فشار بیرون است و گاز داخل حباب جهت کاهش فشار به درون فیلم مذاب نفوذ می‌کند. ۲- ناشی از جوانه‌زنی حباب در دیواره و رشد آن در اثر زمان نگه داری بالا در سطح مذاب است. ۳- عدم پایداری دیواره فوم در برابر اختلاف فشار داخل حباب و فشار محیط می‌باشد. وجود عیوب با افزایش ذرات SiC در مذاب کاهش می‌باشد. وجود ذرات تقویت‌کننده در سطح و داخل دیواره سلولی باعث افزایش استحکام زمینه و در عین حال افزایش تردی دیواره سلولی می‌گردد. شکل ۷-ب توزیع ذرات SiC به همراه آنالیز کمی آن در سطح را نشان می‌دهد که نشان از ترشوندگی مناسب ذرات در حین تولید می‌باشد [۱۵]. همچنین در شکل ۷-ج شکست ذرات SiC و خرد شدن آنها قابل مشاهده است.

#### ۴-۳-بررسی ریزساختاری

به منظور بررسی عوامل مؤثر بر رفتار فوم آلیاژی سلول بسته، ریزساختار آن مورد ارزیابی قرار گرفت. رفتار فوم کامپوزیتی سلول بسته علاوه بر شرایط آزمون فشار به عواملی همچون ساختار سلولی، اندازه سلول، ضخامت دیواره سلولی و توزیع ذرات تقویت کنند مرتبه می‌شود [۱۶].



- [1] J. Banhart, "Manufacture, characterization and application of cellular metals and metallic foams", *Progress in Material Science*, Vol. 46, pp. 559-632, 2001.
- [2] H. P. Degischer & B. Kriszt, "Handbook of cellular metals", Weinheim, Wiley-VCH, 2002.
- [3] M. S. Aly, "Behavior of closed cell aluminium foams upon compressive testing at elevated temperatures: Experimental results", *Materials Letters*, Vol. 61, pp. 3138–3141, 2007.
- [4] C. M. Cady, G. T. Gray, C. Liu, M. L. Lovato & T. Mukai, "Compressive properties of a closed-cell aluminum foam as a function of strain rate and temperature", *Materials Science and Engineering*, Vol. 525A, pp. 1–6, 2009.
- [5] S. Sahu, M. D. Goel, D. P. Mondal & S. Das, "High temperature compressive deformation behavior of ZA27-SiC foam", *Materials Science and Engineering*, Vol. 607A, pp. 162–172, 2014.
- [6] P. Wang, S. Xu, Z. Li, J. Y, H. Zheng & S. Hu, "Temperature effects on the mechanical behavior of aluminum foam under dynamic loading", *Materials Science and Engineering*, Vol. 559A, pp. 174-179, 2014.
- [7] M. F. Ashby, A. G. Evans, N. A. Fleck, L. J. Gibson, J. W. Hutchinson & H. N. G. Wadley, "Metal Foams: A Design Guide", Butterworth Heinemann, 2000.
- [8] D. P. Myriounis, S. T. Hasan & T. E. Matikas, "Microdeformation behavior of Al-SiC metal matrix composites", *Composite Interfaces*, Vol. 15, pp. 495–514, 2008.
- [9] A. K. Ghosh, "On the measurement of strain-rate sensitivity for conventional and ultra-fine grain alloys Mater", *Materials Science and Engineering*, Vol. 463A, pp. 36–40, 2007.
- [10] M. T. Kiser, F. W. Zok & D. S. Wilkinson, "Plastic flow and fracture of a particulate metal matrix composite", *Acta Materialia*, Vol. 44, pp. 3465–3476, 1996.
- [11] C. Chen, T. J. Lu & N. A. Fleck, "Effect of imperfections on the yielding of two-dimensional foams", *Journal of the Mechanics and Physics of Solids*, Vol. 47, pp. 2235–2272, 1999.

شکست ذرات در حین فرایند تولید در اثر هم زدن مکانیکی مذاب باعث توزیع بهتر ذرات در زمینه شده و استحکام فشاری فوم‌های تولیدی را افزایش می‌دهد.

#### ۴- نتیجه‌گیری

در این پژوهش به بررسی رفتار تغییر شکل گرم فوم سلول بسته کامپوزیتی  $\text{Al}/\text{SiC}_p$  پرداخته شد و نتایج زیر حاصل گردید:

۱- ذرات SiC باعث افزایش استحکام دیواره سلولی و ترد شدن آن می‌شوند. درنتیجه در دمای پایین مکانیزم قالب کمانش و پارگی دیواره سلولی است و بر روی نمودار باعث نوسانات تنفس می‌شود ولی در دماهای بالا دیواره سلولی بر روی یکدیگر خم می‌شوند و میزان دامنه تغیرات در منطقه تنفس مسطح کاهش می‌یابد و بر روی نمودار تنفس-کرنش مهندسی به صورت منطقه صاف مشاهده می‌شود.

۲- افزایش کسر حجمی ذرات SiC در مقادیر ثابت دما سبب افزایش تنفس مسطح فوم کامپوزیتی سلول بسته و همچنین میزان جذب انرژی آن می‌گردد.

۳- خواص فشاری به شدت تابعی از دما می‌باشد و با افزایش دما در مقادیر ثابت ذرات SiC سبب کاهش تنفس مسطح و میزان جذب انرژی فوم کامپوزیتی سلول بسته می‌گردد.

۴- با افزایش دما منحنی تنفس-کرنش مهندسی از حالت دندانهای به صورت صاف تغییر شکل می‌دهد، که علت آن را می‌توان به تغییر مکانیزم‌های تغییر شکل و از دست دادن استحکام دیواره سلولی و نرم شدن آن نسبت داد.

#### ۵- تشکر و قدردانی

نویسندهای مقاله بر خود لازم می‌دانند که از کارشناسان و اعضای گروه پژوهشی مواد و مجتمع فنی جهاد دانشگاهی واحد مشهد، به خاطر فراهم آوردن کلیه امکانات انجام این تحقیق، تشکر نمایند.

#### ۶- مراجع

[12] J. Banhart, "Metal Foams: Production and Stability", Advanced Engineering Materials, Vol. 8, No. 9, 2006.

[13] J. J. Bikerman, J. M. Perri, R. B. Booth & C. C. Currie, "Foams: Theory and Industrial Applications", Reinhold, New York, 1953.

[14] D. C. Curran, Ph.D. Thesis, "Aluminium Foam Production using Foaming Agent", Cambridge, 2003.

[15] N. Babcsán, J. Banhart & D. Leitlmeier, "Metal foams – manufacture and physics of foaming, International Conference Advanced metallic materials", Smolenice, Slovakia, 2003.

[۱۶] م. گلستانی پور، م. توکلی، س. م. زبرجد، ا. باباخانی و ب. نادری، "بررسی جذب انرژی پل ساندویچی با هسته فوم آلمینیوم تحت آزمون سوراخ کاری"، مجله مواد نوین، جلد ۳، شماره ۲، صفحه ۲۸-۳۸، زمستان، ۱۳۹۱، ۲۵.

[۱۷] آ. دهنوی، م. گلستانی پور، ح. خدیبوی آیسک، م. ص. ابروی، م. ملک جعفریان و م. حسینزاده، "رسی جذب انرژی پل ساندویچی با هسته فوم آلمینیوم تحت آزمون سوراخ کاری"، مجله مواد نوین، جلد ۸، شماره ۴، صفحه ۹۷-۸۹، زمستان ۱۳۹۳.

## ۱- پی نوشت

- [1] M.S.Aly
- [2] C.M. Cady
- [3] S. Sahu
- [4] P. Wang
- [5] Plateau
- [6] Densification
- [7] A.K. Ghosh
- [8] M.T. Kiser

## Influence of SiC particles on hot deformation behavior of closed cell Al/SiC<sub>p</sub> foam

Armin Dehnavi<sup>1\*</sup>, Golam Reza Ebrahimi<sup>2</sup>, Masoud Golestanipour<sup>3</sup>

1- MSc, University of Applied Science and Technology, Iranian Academic Center for Education, Culture and Research (ACECR), Mashhad Branch, Khorasan Razavi, Iran

2- Associate Professor, Hakim Sabzevari University, Faculty of Engineering, Sabzevar, Khorasan Razavi, Iran

3- Member of Materials Research Group, Iranian Academic Center for Education, Culture and Research (ACECR), Mashhad Branch, Khorasan Razavi, Iran

\*Corresponding author: Armin.dehnavi@yahoo.com

### Abstract:

In this research, closed-cell aluminum foams reinforced by SiC particles were fabricated using direct melt-foaming method and CaCO<sub>3</sub> as a blowing agent. The effect of adding reinforcement particles on mechanical properties of foams was investigated by adding different volume percentages of SiC particles (3%, 6%, and 10%). To obtain the mechanical properties of produced foams, uniaxial compression test was carried on samples at different temperature (100°C, 200°C, 300°C, and 400°C) and constant strain rate equal to 0.1s<sup>-1</sup>. The compression tests result show that at the constant temperature, the yield stress, Plateau stress and energy absorption stresses of composite foams will increase by increasing the volume percentage of SiC particles and decrease with increase in temperature. Reinforcement particles also increase the number of indentation in the stress-strain curve of foams, which reflects increasing brittleness of the foams' cell wall.

### Keywords:

Aluminum Foams, SiC Particles, Hot Deformation, Closed-Cell.

Journal homepage: ma.iaumajlesi.ac.ir

### Please cite this article using:

Armin Dehnavi, Golam Reza Ebrahimi, Masoud Golestanipour, Influence of SiC particles on hot deformation behavior of closed cell Al/SiC<sub>p</sub> foam, in Persian, New Process in Material Engineering, 2018, 12(2), 41-50.